

## سلوك العتوبات الخرسانية المسلحة بشرائح ألياف الكاربون

حلا جاسم محمد الحمداني

مدرس مساعد

جامعة الموصل / كلية الهندسة – قسم الهندسة المدنية

أ.د. بيار جعفر السليماني

أستاذ

### الخلاصة

تعدّت الطرق والوسائل لزيادة قابلية تحمل المنشآت الخرسانية فقد استخدمت تقنية حديثة تمثلت باستخدام قضبان من ألياف الكاربون كتسليح داخلي بدلاً من التسليح الاعتيادي نظراً إلى خصائصها المتعددة التي تجعلها مفضلة على معدن الحديد أهمها عدم إصابتها بالصدأ. إذ تم في هذا البحث دراسة سلوكية عتوبات خرسانية مسلحة بشرائح من الألياف الكاربوونية بدلاً من قضبان التسليح. إذ تم وضع شرائح من ألياف الكاربون بطبقة واحدة وبطبقتين عند منطقة الشد لتلك العتوبات وبعرض مختلف لتلك الشرائح بدل التسليح الاعتيادي لدراسة سلوكية تلك العتوبات من ناحية قابلية التحمل وشكل الفشل وتأثير زيادة عدد الشرائح في زيادة الاحتكاك بين الخرسانة وشرائح الألياف الكاربوونية في زيادة تحمل العتبة. بعد إجراء الفحوصات اللازمة أظهرت النتائج عن وجود مساهمة فعالة ودور واضح لشرائح الألياف الكاربوونية في زيادة مقاومة التحمل للأعضاء الخرسانية وتقليل الأود إضافة إلى تحسين سلوكية العتوبات وزيادة صلابة ومطالية تلك العتوبات وبنسب مختلفة تعتمد على زيادة إجهادات الربط لشرائح الألياف الكاربوونية مع الخرسانة المحيطة بزيادة عدد الشرائح وتقليل عرضها، إضافة إلى زيادة عدد الطبقات المستخدمة لتلك الشرائح.

## Behavior of Carbon Fiber Sheets Reinforced Concrete beam

Dr. Bayar J. Al-Sulayfani

Professor

Hala Jassim AL Hamdany

Assistant Lecturer

### Abstract

One of the new technologies used in increasing the bearing capacity of concrete structures is the replacing of standard (normal) reinforcement by bars made of carbon fibers making use of its properties, which gives an advantage by being antirust. In this research, an experimental study of the behavior of concrete beams reinforced with strips of carbon fibers, (one or two layers), in the tension zone of the beams, with a variable width is performed to study the behavior of the beams from the point of view of their flexural capacity, failure mode, and the effect of the friction between the concrete and the fiber strip on load failure. After conducting the tests, the results revealed that an effective contribution and an obvious role of carbon strips fiber in improving the members bearing capacity and the overall behavior, also increasing the stiffness and ductility at different rates depending on the bond stress and number of strips.

## المقدمة

يسعى العديد من الباحثين والمهتمين ذوي الاختصاص إلى اللجوء إلى تقوية الاعضاء الخرسانية وزيادة تحملها لذلك فالزيادة في ابعاد مقاطع الاعضاء كانت وسيلة جيدة ولكنها في نفس الوقت تؤثر على ابعاد الفضاء وخاصة في حالة الجسور العالية مما أدى إلى استخدام وسائل أخرى بدلاً منها كزيادة نسبة التسلیح في المقطع الخرساني او استخدام التسلیح مسبق الجهد [1].

رغم كل مخاسن حديد التسلیح وفوائده إلا أنه لا يخلو من المشاكل منها ثقل وزنه، ومشكلة الصدأ حال تعرض معدن الحديد إلى الرطوبة، ..... الخ. لذا اتجه المختصين إلى البحث عن مواد بديلة يتلائم استعمالها مع جميع المنشآت ومع جميع الظروف الجوية التي يتعرض فيها استخدام معدن الحديد.

فقد تم استخدام الألياف الكربونية بديلاً عن حديد التسلیح لما تمتلكه من خواص وميزات تجعلها مفضلة على معدن الحديد منها مقاومتها للرطوبة والتأكل والحرارة والظروف القاسية والعامل الكيميائي، فضلاً عن خواصها الفيزيائية وسهولة استعمالها، [1] كما وإنها تتميز بان لها قابلية تحمل جيدة ومتلاطف قابلية على الاستطاله، لذا تم استعمال هذه الألياف في عملية تصليح وترميم وإعادة تأهيل المنشآت الخرسانية القيمة المتضررة ببعض الكوارث (كالزلزال)، [2,3] واقتصر استخدام هذه الألياف في التغليف من الخارج. لقد تم التركيز في هذا البحث على استخدام شرائح الألياف الكربونية في التسلیح الداخلي كتسليح رئيسي او مساعد في الأعتاب الخرسانية المسلحة إذ استخدمت بشكل شرائح صغيرة مثبتة في منطقة الشد بدلاً من قضبان التسلیح.

## الهدف من البحث

الهدف الرئيسي لهذا البحث هو معرفة تأثير التسلیح الداخلي بشرائح من الألياف الكربونية على سلوكية العتبات الخرسانية ومعرفة تأثير مساحة الربط بين الألياف الكربونية والخرسانة المحيطة على قابلية التحمل للعتبات الخرسانية وعن اعتماد هذا التسلیح في تحسين أداء هذه الأعضاء الإنسانية

### 1. المواد المستخدمة

1.2: الاسمنت: الاسمنت المستخدم هو إسمنت اعنيادي (O.P.C)، مصنوع بموجب المواصفة القياسية العراقية (IQS:No5) لسنة (1984) [4] المنتج في معمل بادوش والجدول (1) يوضح التحليل الكيميائي أما الجدول (2) فيوضح التحليل الفيزيائي للأسمنت المستخدم ومقارنته مع حدود المواصفة.

2.2: الماء: استخدم ماء الشرب الاعتيادي الحالي من الشوابئ.

**الجدول (1): يوضح التحليل الكيميائي للأسمنت المستخدم ومركباته الرئيسية [4]**

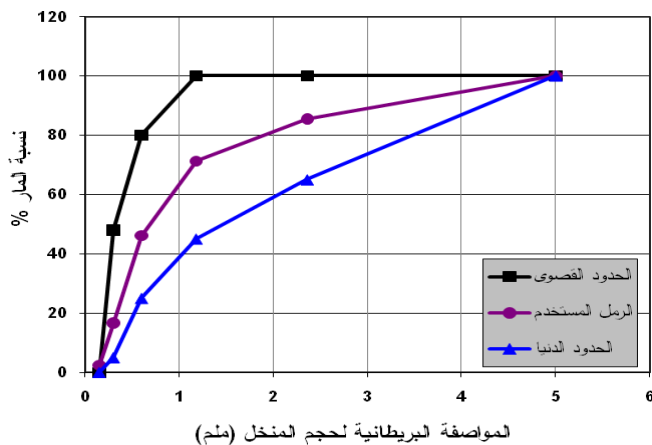
الاسماء	النسبة المئوية (%)	العناصر الكيميائية
أوكسيد الألمنيوم $\text{Al}_2\text{O}_3$	5.6	حدود المواصفة (IQS:5/1984) (%)
أوكسيد السليكا $\text{SiO}_2$	21.52	17-25
أوكسيد الحديد $\text{Fe}_2\text{O}_3$	2.74	0.5-6
أوكسيد الكالسيوم $\text{CaO}$	62.55	60-67
ثلاثي أوكسيد الكبريت $\text{SO}_3$	2.54	لا يزيد عن 2.8 %
أوكسيد المغنيسيوم $\text{MgO}$	3.23	لا يزيد عن 5%
مركبات الاسمنت الرئيسية		
ثلاثي سليكات الكالسيوم $\text{C}_3\text{S}$	36.44	31.03-41.05
ثنائي سليكات الكالسيوم $\text{C}_2\text{S}$	34.20	28.61-37.9
ثلاثي ألومينات الكالسيوم $\text{C}_3\text{A}$	12.07	11.96-12.3
رباعي ألومينات الكالسيوم الحديدية $\text{C}_4\text{AF}$	7.98	7.72-8.02

الجدول (2): يوضح التحليل الفيزيائي للإسمنت المستخدم [4]

الخصائص	نتيجة الفحص	حدود المعاصفة (%) (IQS:5/1984)
النعومة(نسبة المتبقى على منخل رقم 170)	% 2	لا تزيد عن 10 %
الابتدائي (دقيقة)	140	لا تقل عن 45 دقيقة
النهائي (دقيقة)	385	لا تزيد عن 600 دقيقة
<b>مقاومة الانضغاط (MPa)</b>		
	19.22	لا تقل عن (16 MPa)
	27.88	لا تقل عن (24 MPa)
<b>مقاومة الشد (MPa)</b>		
	1.8	لا تقل عن(1.6 MPa)
	2.5	لا تقل عن (2.4 MPa)

### 3.2: الركام الناعم (الرمل):

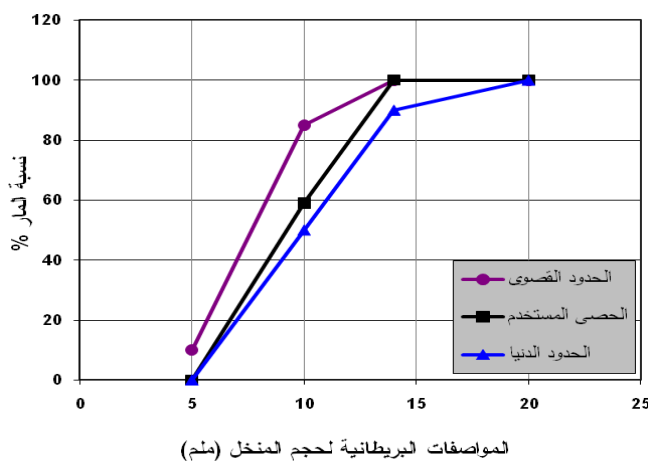
الرمل المستخدم رمل نهري ذو معامل نعومة (2.8) ومتافق للمعاصفات البريطانية (BS 882:1992) [5,6]، والشكل (1) يبين نتائج التحليل المنخلي للركام الناعم.



الشكل (1): يوضح التحليل المنخلي للركام الناعم المستخدم

### 4.2: الركام الخشن (الحصى):

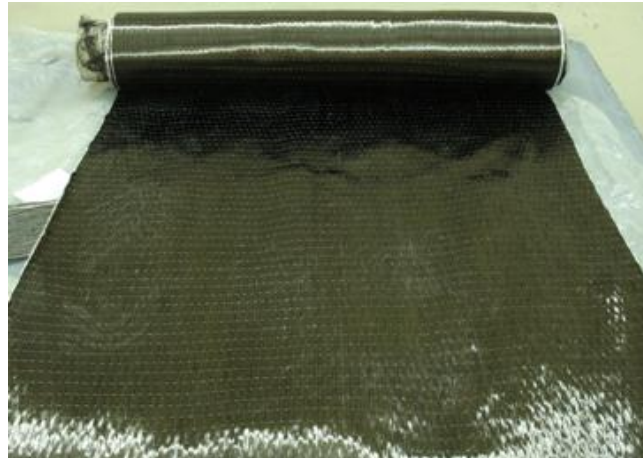
تم استخدام الحصى النهري المحلي المدور وبمقاس أقصى (10mm)، والشكل (2) يوضح تدرج الحصى والمطابق للمعاصفات البريطانية [5,6] (BS 882:1992)



الشكل(2): يوضح التحليل المنخلي للركام الخشن (الحصى)

### 5.2: ألياف الكربون (CFRP) وخواصها

تم استخدام ألياف الكربون من نوع Sika Wrap Hex-230C [7]. والشكل (3) يوضح شكل هذه الألياف، والجدول (3) يبين خصائص الألياف الفيزيائية [7]. وهذه النوعية من الألياف لها القابلية الجيدة على تقوية المنشآت الخرسانية المسلحة، وكذلك أعمال الطابوق وألواح الخشب المستخدمة في البناء في مقاومة القص والانتفاث.



الشكل (3): يوضح شكل ألياف الكاربون (Sika Wrap Hex-230C)

الجدول (3): يوضح الخصائص الفيزيائية لألياف الكاربون .[7](Sika Wrap Hex-230C)

1-	Fiber type	high strength carbon fibers
2-	Fiber orientation	0° ( unidirectional)
3-	Construction	Warp: Carbon fibers(99% of total a real weight) Weft: Thermoplastic heat-set fiber (1% of total a real weight)
4-	Areal weight	10gm/m <sup>2</sup> ± 220gm/m <sup>2</sup>
5-	Fiber density	1.78 gm/cm <sup>3</sup>
6-	Fabric design thickness	0.12mm (Based on total carbon content)
7-	Tensile strength of fiber	4,100N/mm <sup>2</sup> (nominal)
8-	Tensile E- modulus of fibers	231,000 N/mm <sup>2</sup> (nominal)
9-	Strain at break of fibers	1.7% (nominal)
10-	Fabric length /roll	>= 50m
11-	Fabric width	300/600 mm
12-	Shelf life	2 years from Date of production
13-	Package	1 roll in card board box

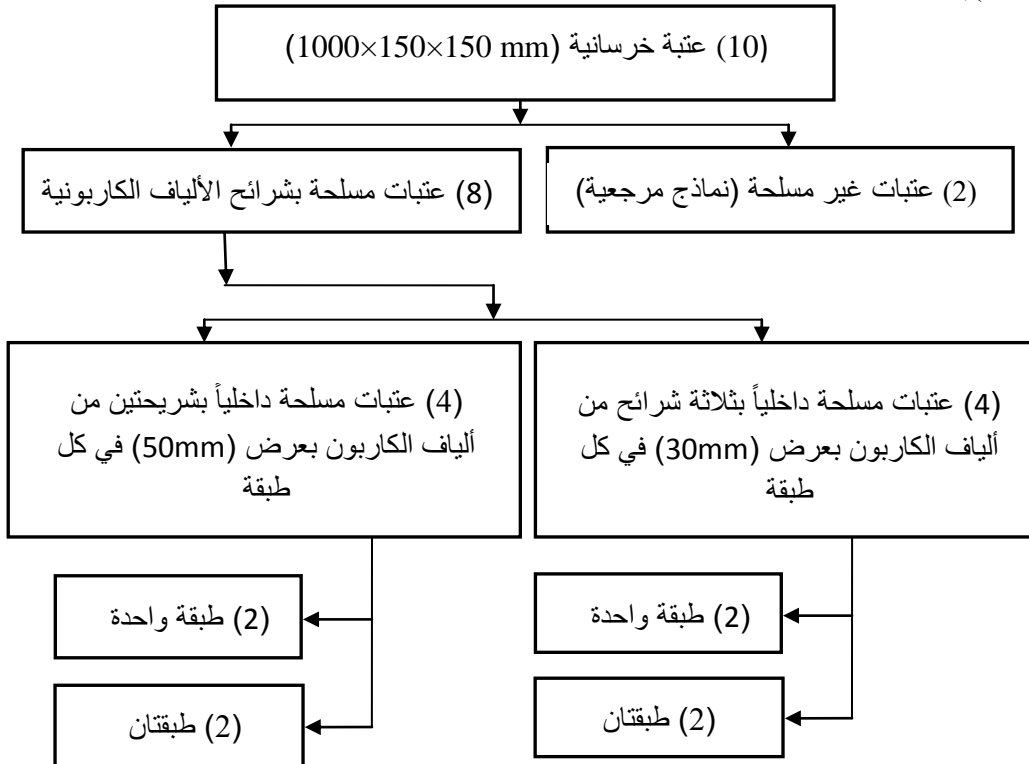
### 3- الخلطة الخرسانية

تم اختيار المقاومة التصميمية للخلطة الخرسانية المستخدمة في صب العتبات الخرسانية بحدود (28MPa) عند عمر(28) يوما وتم الحصول على هذه المقاومة بعد القيام بصب العديد من الخلطات التجريبية وبنسب مختلفة للمكونات الخرسانية وبهطول يتراوح بين (100-120mm) وبعد فحص الاسطوانات القياسية وبأبعاد (150\*300mm) وحسب المواصفة الأمريكية (ASTM C39-04) [8] تم اختيار الخلطة الخرسانية (سمنت:الرمل:الحصى:الماء) حسب النسب الوزنية (0.46:2.9:1.75:1) وبمعدل مقاومة اضغاط (28MPa) بعد مرحلة عمر (28) يوما وبمعدل هطول (100mm). وهي الخلطة المعتمدة في هذا البحث.

### 4. تحضير النماذج

تم إعداد (10) أعتاب خرسانية بطول (1m) وعرض (150mm) وارتفاع (150mm)، اثنان منها غير مسلحة باعتبارها نماذج سيطرة، أما ما تبقى من العتبات فقد استُخدم فيها التسليح الداخلي بشرائح ألياف الكاربون وقسمت اعتماداً على عرض شرائح ألياف الكاربون وعدد طبقاتها المستخدمة كما موضح في الشكل (4)، إذ شملت الآتي:

- استخدمت (4) عتوبات مسلحة بشريحتين من ألياف الكاربون بعرض (50mm) في كل طبقة كما موضح في الشكل (5-a,b). اثنان منها مسلحة بطبقة واحدة من الألياف الكاربونية واثنان منها مسلحة بطبقتين من الألياف.
- استخدمت (4) عتوبات مسلحة بثلاثة شرائح من ألياف الكاربون بعرض (30mm) في كل طبقة كما موضح في الشكل (5-a,c), اثنان منها مسلحة بطبقة واحدة من الألياف الكاربونية واثنان منها مسلحة بطبقتين من الألياف.



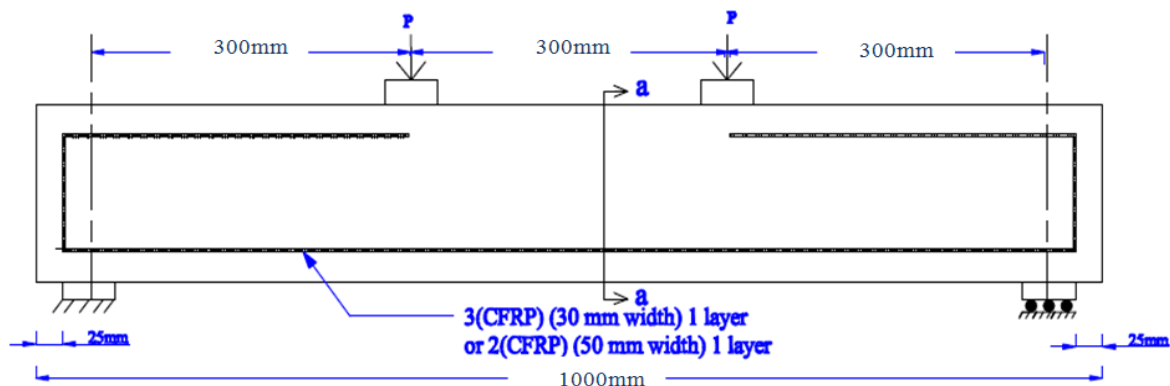
الشكل (4): يوضح مخططاً للنماذج المستخدمة في البحث

وقد تضمنت عملية إعداد النماذج وطريقة تثبيت شرائح الألياف الكاربونية عدة خطوات تُستهل بتهيئة قوالب الصب بتنظيفها جيداً وطلاء الأوجه الداخلية بالزيت. ومن ثم تبدأ الخطوة الثانية إذ تتضمن تهيئة لمواد الخلطة الخرسانية إذ توزن جميع المواد وتوضع في المازجة ويقاس الهطول للخلطة ليبدأ صب الخلطة الخرسانية. أما الخطوة الثالثة شملت طريقة الصب داخل القالب فبالنسبة للنماذج المسلحة بشرائح الألياف الكاربونية يتم وضع طبقة من الخلطة الخرسانية داخل القالب وبعمق مساوياً لعمق الغطاء الخرساني الذي يساوي (25mm) ومن ثم رصها باستخدام الهزاز الكهربائي. يليها عملية تثبيت شرائح الألياف الكاربونية فوق الخلطة الخرسانية ومن ثم توضع الخلطة الخرسانية فوق هذه الشرائح إلى حد الغطاء الخرساني العلوي لضمان تثبيت هذه الشرائح من الأعلى أيضاً بجعل أطراف الشرائح الكاربونية بشكل كلام (Hook) وتثبيت الطول المتبقى منها في الأعلى. ويعود السبب في وضع الألياف بشكل كلام (Hook) لضمان عدم حصول فشل بالربط (Bonding) أي لتوفير طول التثبيت الكافي بحيث يضمن عدم حصول انسحاب للألياف للأعلى ثانية عملية الحمل للعتبة لتكون أقرب للحقيقة من حديد التسليح كما موضح في الشكل (5) يليها عملية صب القالب بالكامل ورصه. وأخيراً ترك النماذج لمدة (24) ساعة، ثم نفتح القوالب وتترك النماذج لمدة (28) يوماً للمعالجة بالماء ومن ثم فحصها.

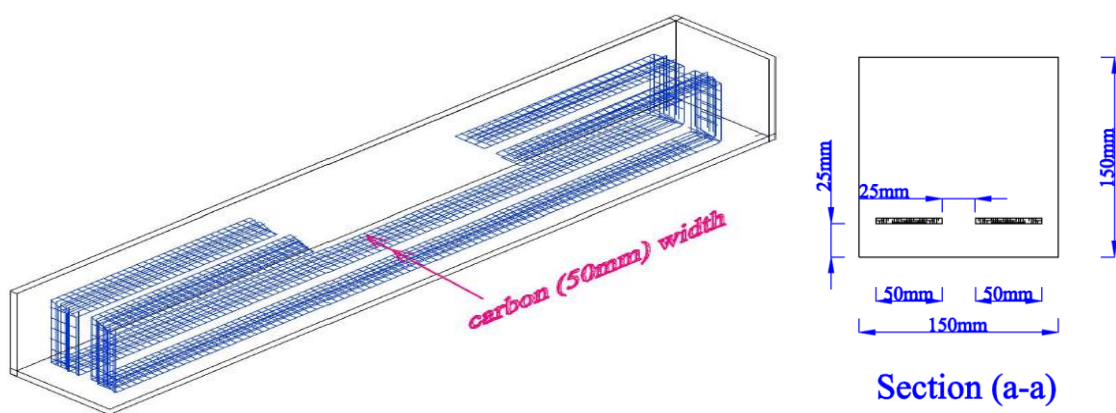
## 5. الفحوصات والقياسات المستخدمة في البحث

استخدام جهاز فحص هيدروليكي (Universal Test Machine) ذو سعة قدرها (500KN) لإجراء فحص نقطتين تحمل في الأعتاب الخرسانية والشكل (6) يوضح طريقة إجراء الفحص إذأشتمل الفحص القياسات التالية.

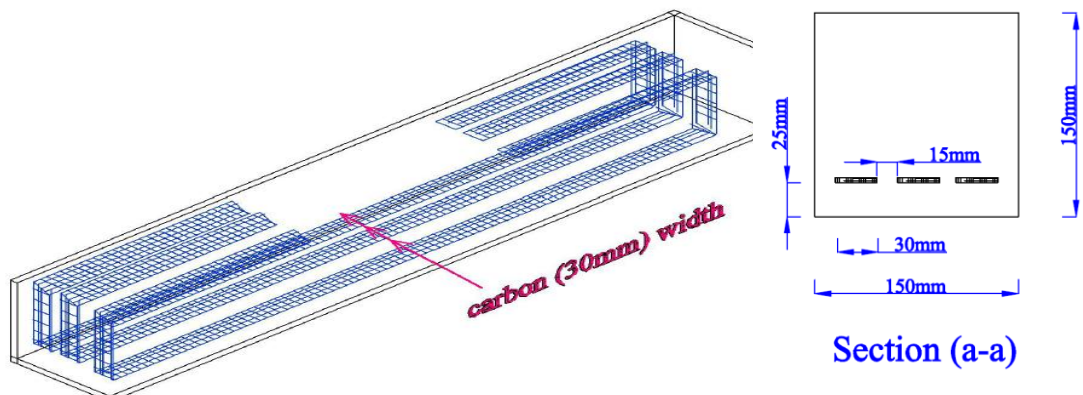
- 1- قياس قابلية التحمل للعتوبات الخرسانية .
- 2- قياس الأود في وسط العتبة وذلك باستخدام مقياس قرصي مدرج (Dial gauge) بدقة (0.01mm).



(a): أبعاد وتفاصيل التسلیح الداخلي للعتبة الخرسانية



(b): يوضح هيكل التسلیح لنمودج من العتوبات الخرسانية المسلحة بشریحتین من ألياف الكاربون بعرض (50mm) في الطبقة وبطبة واحدة



(c): يوضح هيكل التسلیح لنمودج من العتوبات الخرسانية المسلحة بثلاثة شرائح من ألياف الكاربون بعرض (30mm) في الطبقة وبطبة واحدة

الشكل (5): أبعاد وشكل تسلیح العتبة الخرسانية ونمودج لهيكل التسلیح داخلياً بألياف الكاربون

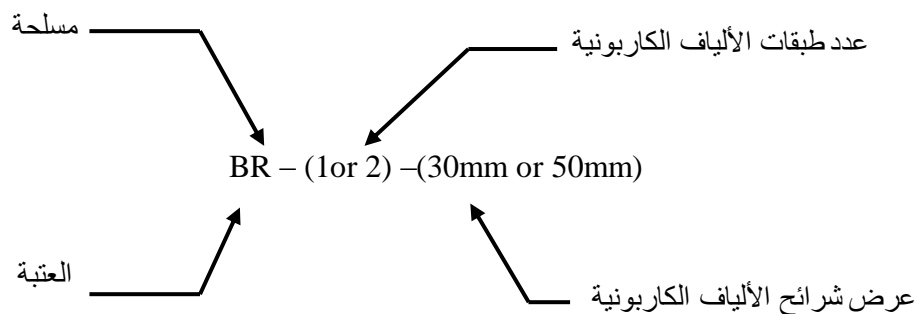


الشكل (6): يوضح جهاز فحص النماذج ونقاط التحميل في الأعتاب الخرسانية

## 6. النتائج والمناقشة

وشملت كل من:

### 1.6 دراسة تأثير التسلیح بشرائح الألياف الكاربونية على حمل الفشل للعتوبات الخرسانية



الشكل (7): يوضح ترميز للعتوبات الخرسانية المستخدمة

الشكل (7) يوضح ترميز للعتوبات الخرسانية المستخدمة في هذا البحث. فحصلت جميع العتوبات بجهاز (Universal Test Machine) في مختبر فحص المواد في جامعة الموصل. إذ كان نوع الإسناد لهذه العتوبات هو إسناد بسيط بفضاء (900mm) سلط الحمل مرکزياً ومن ثم وزع على نقطتين تبعidan (150mm) عن منتصف العتبة من كل جهة. حيث ثبت المقياس لقياس الآود في وسط العتبة أخذت قراءات هذا المقياس عند كل معدل زيادة للحمل (1 كيلونيوتن). لوحظ أن الفشل الناتج عن تحمل هذه العتوبات هو فشل اثناء لجميع النماذج.

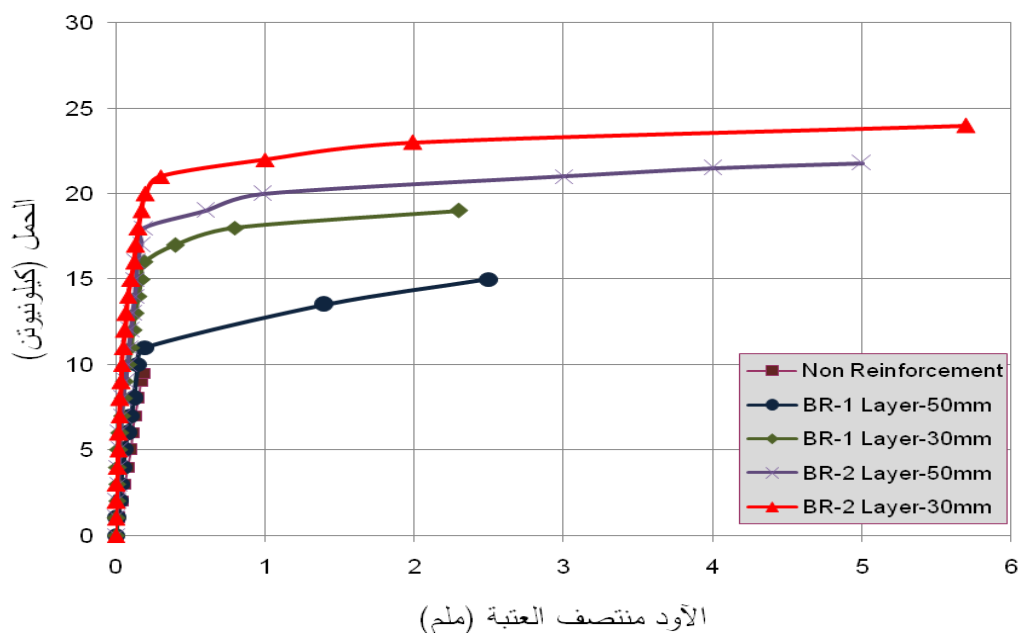
الجدول (4) يوضح نتائج الفحص إذ يبين نتائج أقصى حمل للعتوبات عند الفشل والأود عند أقصى حمل كما يتبيّن من نتائج الفحص أن حمل الفشل للعتوبات يزداد بفعل التسلیح بشرائح ألياف الكاربونية وان هذه الزيادة تعتمد بالدرجة الأولى على عدد طبقات شرائح الألياف الكاربونية وعلى زيادة قوة الربط بين الخرسانة وتلك الشريحة من خلال تقليل عرض الشريحة الكاربونية وزيادة عددها للطبقة الواحدة فتزداد قوة الاحتكاك بين الألياف والخرسانة المحيطية وبالتالي زيادة تحمل العتبة،

كما تظاهر النتائج أن نسب الزيادة الحاصلة في حمل الفشل وما ينتج عنه من نقصان في الأود تبعاً للزيادة الحاصلة في عدد الطبقات والزيادة في عدد شرائح الطبقة الواحدة.

**الجدول (4): يوضح مقدار الفرق في الحمل الأقصى فضلاً عن الفرق الحاصل في قيمة الأود للعتبات الخرسانية المسلحة بالألاف الكاربونية مقارنة بالحمل الأقصى للعتبة غير المسلحة**

النماذج	$\Delta$ الأود (ملم)	حمل الفشل (كيلونيوتن)	% نسبة الزيادة في حمل الفشل	الأود (ملم) عند الحمل (9.5) كيلونيوتن	% نسبة النقصان في الأود عند الحمل (9.5) كيلونيوتن
No Reinforcement	0.19	9.5	-----	0.19	-----
BR-1Layer-50mm	2.5	15.0	57.8	0.14	25.2
BR-2Layer-50mm	5.0	21.8	129.4	0.07	61.8
BR-1Layer-30mm	2.3	19.0	100.0	0.07	63.1
BR-2Layer-30mm	5.7	24.0	152.6	0.04	80.0

الشكل (8) يوضح منحني علاقة (الحمل – الأود) للعتبات غير المسلحة والعتبات المسلحة داخلياً بطبقة واحدة وطبقتين من شرائح الألياف الكاربونية ذي العرض (30mm,50mm). ويلاحظ من الشكل (8) أن منحنيات (الحمل – الأود) للعتبات المسلحة بالشرائح الكاربونية تتكون من طورين الطور الخطي الأول يبدأ بتحمل العتبة للأحمال المسلطة عليها وينتهي بظهور الشق الخرساني في منتصف العتبة (Crack) وعندها يبدأ الطور الثاني الذي يبدأ عنده الشق بالتوسيع وحصول فشل الخرسانة مع استمرار تحمل الشرائح الكاربونية إلى حين حصول انقطاع الشرائح وحصول الفشل النهائي. لوحظ أن استخدام الشرائح ساعد على تأخير ظهور الشقوق وتأخير الفشل الحاصل في العتوبات وهذا ما يفسر الزيادة في قيمة الحمل الذي يظهر فيه الشق الأول. كما ويمكن ملاحظة النقصان الحاصل في الأود نتيجة زيادة عدد الطبقات وزيادة الربط بين الألياف الكاربونية والخرسانة بتقليل عرض الشرائح وزيادة عددها للطبقة الواحدة ويرجع السبب في ذلك إلى زيادة قوة الاحتكاك بين تلك الشرائح الكاربونية والخرسانة المحيطة بكل شريحة فتزداد إجهادات الربط (Bonding Stress) مسبباً زيادة حمل الفشل.



**الشكل (8): يوضح منحني علاقة (الحمل – الأود) للعتبات غير المسلحة و المسلحة داخلياً بطبقة واحدة وطبقتين من شرائح الألياف الكاربونية ذي العرض (30mm,50mm)**

كما يمكن ملاحظة الزيادة الحاصلة في حمل الفشل والنقصان الحاصل في الآود بزيادة عدد طبقات الألياف الكربونية، إذ يوضح الجدول (5) أن نسب الزيادة الحاصلة في حمل الفشل وما ينتج عنه من نقصان في الآود عند استخدام طبقة واحدة من الألياف الكربونية كانت أكبر من الزيادة الحاصلة عند استخدام طبقتين من تلك الألياف.

**الجدول (5):** يوضح مقدار الفرق في كل من الحمل الأقصى والآود للعتوبات الخرسانية المسلحة بالألياف الكربونية عند استخدام 3 شرائح بعرض 30mm مقارنةً بالعتوبات ذات الشريحتان بعرض 50mm عند كل طبقة

النماذج	حمل الفشل (كيلونيوتن)	% نسبة الزيادة في حمل الفشل	الآود عند الحمل (9.5) كيلونيوتن	% نسبة النقصان في الآود عند الحمل (9.5) كيلونيوتن
BR-1Layer-50mm	15.0	26.7	0.14	50.7
BR-1Layer-30mm	19.0		0.07	
BR-2Layer-50mm	21.8	10.1	0.07	47.6
BR-2Layer-30mm	24.0		0.04	

## 2.6: دراسة تأثير التسليح بشرائح الألياف الكربونية على صلابة العتوبات الخرسانية

لا يقتصر دور شرائح الألياف الكربونية على زيادة قدرة تحمل العتوبات الخرسانية مع النقصان في الآود وإنما تعمل ألياف الكربون على زيادة صلابة العتوبات الخرسانية والمحسوبة بالاعتماد على الحمل الأقصى للعتوبات وذلك بأخذ نسبة (45%) من الحمل الأقصى وتسيقيطها على منحني (الحمل-الآود) واستخراج قيمة الآود والتي تقابل مقدار هذا الحمل [9]، ومن قسمة مقدار الحمل على الآود الناتج يتم إيجاد صلابة العتبة الخرسانية، والجدول (6) يبين قيم الصلابة (Stiffness) (k) ومقدار الزيادة الحاصلة التي تزداد بزيادة عدد طبقات الألياف الكربونية.

**الجدول (6):** يوضح قيم الصلابة للعتوبات الخرسانية

النماذج	عدد الطبقات	حمل الفشل (كيلو نيوتن)	الصلابة (k) (كيلونيوتن/ملم)
No Reinforcement	0	9.5	50.0
BR-1Layer-50mm	1	15.0	71.1
BR-2Layer-50mm	2	21.8	127.2
BR-1Layer-30mm	1	19.0	154.1
BR-2Layer-30mm	2	24.0	225.0

الجدول (6) يبين أن نسبة الزيادة الحاصلة في صلابة العتوبات الخرسانية المسلحة داخلياً بالألياف الكربونية وبطبقة واحدة وبعرض (30mm) وصلت (116.8%) مقارنة بالعتوبات المسلحة بطبقة واحدة من الشرائح الكربونية وبعرض (50mm) وإن نسبة الزيادة قد انخفضت قليلاً لتكون (76.8%) عند استخدام طبقتين من شرائح الألياف الكربونية بعرض (30mm) مقارنة بالعتوبات التي تستخدم فيها شرائح بعرض (50mm).

## 3.6: دراسة تأثير التسليح بشرائح الألياف الكربونية على مطيلية ومتانة العتوبات الخرسانية

يمكن ملاحظة الزيادة الحاصلة في المطيلية الحاصلة في العتوبات الخرسانية المسلحة بشرائح الألياف الكربونية وبشكل واضح وخاصة بعد ظهور الشقوق في العتوبات وتكون هذه الزيادة قليلة نوعاً ما قبل حدوث الشقوق. وهذه الزيادة تزداد مع زيادة عدد طبقات الألياف الكربونية. إذ يبين الجدول (7) المطيلية (Ductility) للعتوبات الخرسانية الغير مسلحة والمسلحة داخلياً بالألياف الكربونية والمتمثلة بقابلية العتبة لامتصاص الطاقة إذ يمكن التعبير عنها بنسبة التشوه الأقصى إلى التشوه في نقطة الخضوع ( $\mu = \Delta u / \Delta y$ ) [10]. كما ويوضح قيم المتانة للعتوبات الخرسانية والمحسوبة من خلال حساب المساحة تحت منحنيات (الحمل - الآود).

**الجدول (7): يوضح قيم المطيلية وطاقة الامتصاص للعتبات المستخدمة**

النماذج	عدد الطبقات	حمل الفشل (كيلونيوتن)	المطيلية ( $\mu$ )	المثانة (المساحة تحت المنحنى) (كيلونيوتن.ملم)
No Reinforcement	0	9.5	0.0	1.0
BR-1Layer-50mm	1	15.0	16.7	32.0
BR-2Layer-50mm	2	21.8	35.7	100.7
BR-1Layer-30mm	1	19.0	17.7	38.9
BR-2Layer-30mm	2	24.0	57.0	129.1

كما يبيّن الجدول أن نسب الزيادة الحاصلة في مطيلية ومتانة العتوبات الخرسانية المسلحة داخلياً بالألياف الكاربونية وبطبيعة واحدة وبعرض (30mm) تساوي على التوالي (6.1% ، 21.6%) مقارنة بالعتوبات المسلحة بطبقة واحدة من الشرائح الكاربونية وبعرض (50mm) وإن هذه النسبة ازدادت عند استخدام طبقتين من هذه الألياف لتكون (28.3% ، 59.64%) على التوالي.

كما وبيّن كل من الجدول (6) والجدول (7) الزيادة الحاصلة في كل من صلابة ومطيلية ومتانة العتوبات الخرسانية المسلحة عند استخدام 3 شرائح بعرض 30mm مقارنةً بالعتوبات المستخدم فيها شريحتان بعرض 50mm عند كل طبقة. ويعود السبب في ذلك إلى أن زيادة عدد الشرائح وتقليل عرضها يسبب زيادة إجهادات الربط المحيطة بكل شريحة من شرائح الألياف الكاربونية مما يزيد من قوة الاحتكاك بين تلك الشرائح والخرسانة المحيطة مما يسبب زيادة في صلابة ومطيلية ومتانة العتبة الخرسانية وهذا بدوره يؤدي إلى زيادة حمل الفشل لتلك العتوبات.

#### 4.6: دراسة تأثير التسلیح بشرائح الألياف الكاربونية على شكل الفشل للعتوبات الخرسانية

**فشل العتوبات الخرسانية غير المسلحة كان فشلاً قصاً وفجائياً (Brittle and Sudden Failure) لا يسبقه أي تحذير حيث تفشل العتبة بظهور شق**



**الشكل (9): يوضح شكل الفشل للعتوبات الخرسانية المسلحة داخلياً بألياف الكاربون**

(Crack) في منطقة الانثناء نتيجة ضعف مقاومة الخرسانة لقوى الشد مقارنة بقدرة الضغط إذ يمتد هذا الشق متوجهاً إلى الأعلى كما يمتد على عرض العتبة مما يسبب كسر العتبة مسبباً حصول الفشل. أما العتوبات المسلحة بشرائح الألياف الكاربونية فقد كان الفشل مختلفاً إذ كان الفشل تدريجياً مع ظهور شق وسطي يبدأ بالاتساع بشكل تدريجي متوجهاً إلى الأعلى وقبل وصول العتبة إلى الفشل النهائي تم تسجيل قيم أود عالية بسبب حصول الفشل للخرسانة مع بقاء الألياف تحمل القوى المسلطة على العتوبات. وأخيراً حصول الفشل النهائي وهو فشل انثناء أيضاً ولكن بشكل تدريجي إلى حين حصول انقطاع للألياف الكاربونية أيضاً بين نقطتي التحميل. والشكل (9) يوضح شكل الفشل للعتوبات الخرسانية المسلحة داخلياً بألياف الكاربون.

## 7. الاستنتاجات

- من خلال الفحوصات المختبرية التي أجريت في هذه الدراسة، واستناداً على النتائج التي تم الحصول عليها خلصت الدراسة الحالية إلى الاستنتاجات الآتية:
- إن لألياف الكربون قابلية جيدة على زيادة الحمل الأقصى للعتوبات الخرسانية، فقد أسهمت في زيادة تحمل العتوبات الخرسانية المسلحة بشرائح الألياف الكربونية بنسبة تراوح بين ( 57.8% - 100% - 129.4% - 152.6% ) مقارنة بالعتوبات غير المسلحة، وهذه النسبة تعتمد على عدد الطبقات من جهة وعلى عرض الشريان وعددتها في الطبقة الواحدة من جهة أخرى.
  - كان للألياف الكربونية دور كبير في التقليل من قيمة الأود الحاصل وسط العتبة وعند قيم حمل معينة وان نسبة النقصان في الأود قلت من النسبة (50.7%) إلى (47.6%) عند زيادة عدد طبقات الألياف الكربونية.
  - إن استعمال ألياف الكربون في التسليح الداخلي كان لها دور مهم وفعال في زيادة صلابة ومطيلية وطاقة الامتصاص (المساحة تحت المنحنى) للعتوبات الخرسانية المسلحة بالألياف الكربونية وبنسب مختلفة اعتماداً على المتغيرات المأخوذة في البحث. كما ولوحظ ان نسبة الزيادة الحاصلة في صلابة العتوبات المسلحة بطبقة واحدة من الألياف الكربونية تراوحت بين (42.2-208.2%) وزادت هذه النسبة وبشكل ايجابي عند العتوبات المسلحة بطبقتين من الألياف لتكون (154.4-350%).
  - أعطت الألياف الكربونية تغيراً واضحاً في أنماط الفشل الحاصلة في النماذج إذ تحول الفشل من فشل قصيف وفجائي بظهور شق وسطي إلى فشل تدريجي يبدأ بظهور الشق الوسطي واتساعه بشكل تدريجي بزيادة الأحمال المسلطة لحين حصول فشل الخرسانة مع استمرار تحمل الشريان الكربوني لحين حصول انقطاع لهذه الشريان وهذا يعود إلى المطيلية العالية التي تمتاز بها هذه الألياف.

## References

## المصادر

- [1] Lamanna, A.J., "Flexural Strengthening of Reinforced Concrete Beams with Mechanically Fastened Fiber Reinforced Polymer Strips", Ph.D. Thesis, University of Wisconsin-Madison, 2002, 287pp
- [2] Wong, R.Sh., "Towards Modelling of Reinforced Concrete Members with Externally-Bonded Fiber Reinforced Polymer (FRP) Composites", MSc. Thesis, University of Toronto, 2001, 320pp.
- [3] Buell, T.W. and Saadatmanesh, H., "Strengthening Timber Bridge Beams Using Carbon Fiber", Journal of Structural Engineering, Vol. 131, No. 1, January, 2005, pp. 173-187.
- [4] المواصفات القياسية العراقية (رقم 5)، (1984)، "خصائص الإسمنت البورتلاندي الاعتيادي"، الجهاز [4] المركزي للتقييس والسيطرة النوعية، العراق، 1984.
- [5] (BS 882 : 1983), "Aggregates from Natural Sources for Concrete", British Standards, Institute, London, 1983.
- [6] (BS.882-1992), "Aggregates from Natural Source for Concrete", British Standard Institution, 1992.
- [7] "Structural Strengthening With Sika Wrap Fabric System", Sika Services AGCH-8048 Zurich, Switzerland, p.415, www.Sika.com.
- [8] ASTM C39-04, "Compressive Strength of Cylindrical Concrete Specimens", American Society for Testing and Materials.
- [9] ACI committee 544.4R-88, "Design Considerations for Steel Fiber Reinforced Concrete", American Concrete Institute, 1999, pp.1-18.
- [10] Davies, P., Tanin, D.B. and Delpak, R., "Further Investigations in to the Ductility and Deformability of FRP Strengthened RC Elements", FRPRCS-8, University of Patras, Greece, Vol. 3, No. 11, July 2007, pp. 1-10.

تم اجراء البحث في كلية الهندسة = جامعة الموصل